

УДК 548.736.442.6:539.261:548.4:001.57

# Моделирование рентгенодифракционных картин наноструктурированных перовскитов $\text{Sr}(\text{Fe},\text{Co})\text{O}_3 - \delta$

У. В. АНЧАРОВА<sup>1</sup>, С. В. ЧЕРЕПАНОВА<sup>2</sup>, Н. З. ЛЯХОВ<sup>1</sup><sup>1</sup>*Институт химии твердого тела и механохимии Сибирского отделения РАН, ул. Кутателадзе, 18, Новосибирск 630128 (Россия)**E-mail: anchorova@gmail.com*<sup>2</sup>*Институт катализа им. Г. К. Борескова Сибирского отделения РАН, проспект Лаврентьева, 5, Новосибирск 630090 (Россия)*

(Поступила 07.12.11)

## Аннотация

Рассмотрены различные модели упорядочения дефектов в сильно нестехиометрических перовскито-подобных оксидах на базе ферритов/кобальтитов стронция:  $\text{Sr}(\text{Co}_{0.8}\text{Fe}_{0.2})\text{O}_3 - \delta$ ,  $(\text{Sr}_{0.7}\text{La}_{0.3})(\text{Co}_{0.5}\text{Al}_{0.3}\text{Fe}_{0.2})\text{O}_3 - \delta$ ,  $(\text{Sr}_{0.7}\text{Ca}_{0.3})(\text{Co}_{0.5}\text{Al}_{0.3}\text{Fe}_{0.2})\text{O}_3 - \delta$ ,  $\text{Sr}(\text{Co}_{0.75}\text{Nb}_{0.05}\text{Fe}_{0.2})\text{O}_3 - \delta$ ,  $\text{Sr}(\text{Co}_{0.7}\text{Nb}_{0.1}\text{Fe}_{0.2})\text{O}_3 - \delta$  и  $\text{Sr}(\text{Fe}_{0.95}\text{Mo}_{0.05})\text{O}_3 - \delta$  ( $2.5 < (3 - \delta) < 2.7$ ). На дифракционных картинах ряда образцов с различным катионным составом и степенью нестехиометрии наблюдаются интенсивные рефлексы, характерные для структурного типа перовскита со слабыми более широкими сверхструктурными пиками. Методами компьютерного моделирования рассеяния рентгеновских лучей на кристаллах с различными дефектами показано, что такая дифракционная картина может соответствовать трем моделям упорядочения кислородных вакансий – образованию гомогенной структуры с упорядоченным состоянием кислородных вакансий (элементов структуры низкосимметричной фазы) и образованию наногетерогенных систем (браунмиллерит  $\text{ABO}_{2.5}$  + перовскит  $\text{ABO}_3$ ) двух типов. В первом случае компоненты системы имеют пластинчатую форму и чередуются в одном направлении (одномерный беспорядок). Во втором случае речь идет о структуре браунмиллеритных доменов, повернутых друг относительно друга на  $90^\circ$ , с различными способами распределения перовскитной компоненты – на интерфейсах или в виде отдельных доменов. С помощью двумерной дифракции рентгеновских лучей показано, что такая текстура наблюдается не только наnanoуровне, но и для образцов с микродоменами.

**Ключевые слова:** наноструктурирование, перовскит, дефекты в кристаллах, синхротронное излучение, моделирование дифракции

## ВВЕДЕНИЕ

Перовскитоподобные системы  $\text{ABO}_3$  привлекают внимание исследователей благодаря целому ряду химических и физических свойств, в том числе сегнетоэластичности, смешанной кислород-ионной проводимости и др. Один из важнейших факторов, определяющих функциональные свойства простых  $\text{ABO}_3 - \delta$  и комплексных  $\text{AA}'\text{BB}'\text{O}_3 - \delta$  нестехиометрических перовскитов, – их микродоменная структура.

Дефектность реальных кристаллов обусловлена тем, что накопление дефектов до

определенной концентрации приводит к уменьшению свободной энергии системы:  $\Delta G = \Delta H - T\Delta S$ . Образование равновесных дефектов – термодинамически разрешенный процесс, поскольку образование большинства дефектов, невыгодное в энергетическом плане, выгодно из-за возрастания энтропии. В этой связи в реальных кристаллах всегда имеются различные типы дефектов, нарушающие идеальный порядок [1, 2].

Сильно нестехиометрические соединения имеют такие области гомогенности, в пределах которых достигается концентрация вакансий, обеспечивающая их взаимодействие

между собой. При определенных условиях вакансии могут образовывать кластеры или перераспределяться по узлам кристаллической решетки с образованием упорядоченных структур различного типа, в том числе с упорядочением самих кластеров [3]. При температурах до 700–1000 °С термодинамически равновесным состоянием нестехиометрических соединений является упорядоченное состояние, а неупорядоченное состояние метастабильно. Таким образом, нестехиометрические твердые растворы на микроуровне обладают гетерогенной структурой. Распространенные способы асимиляции вакансий в структуре – возникновение плоскостей кристаллографического сдвига [2] или структуры когерентного срастания [4]: например, ряд  $A_nB_nO_{3n-1}$  ( $n \geq 2$ ), где в зависимости от толщины блока октаэдров возникают фазы Браунмиллерита, Гринье и т. д.

Нестехиометрические ферриты/кобальтиты стронция  $Sr(Fe,Co)O_{3-\delta}$ , обладающие смешанной кислород-электронной проводимостью, считаются перспективными материалами для создания кислородопроницаемых мембран и электродов для твердооксидных топливных элементов [5]. Для этих соединений микрогетерогенность может играть определяющую роль, так как повышенная концентрация подвижных дефектов на интерфейсах облегчает диффузию вдоль границ [6]. Таким образом, наноструктурирование приводит к появлению высокой концентрации каналов для облегченной диффузии кислорода.

С точки зрения исследования структуры особый интерес представляют образцы с составом по кислороду  $2.5 < (3 - \delta) < 2.7$ , т. е. сильно нестехиометрические перовскиты с высокой дефектностью.

Цель данной работы – выявление способов упорядочения экстремально большой концентрации дефектов в структуре сильно нестехиометрических ферритов/кобальтитов стронция.

Моделирование рентгенодифракционных картин перовскитоподобных оксидов на базе  $LaFeO_{3-\delta}$  проведено в работах [7, 8], методологический подход симуляции дифракционных картин на низкоупорядоченных системах описан авторами [9–12]. Ранее нами были представлены [13] результаты структурных исследований методами дифракции синхротронного излучения нестехиометрических

$Sr(Fe,Co)O_{3-\delta}$ , допированных неизовалентными катионами с различной степенью нестехиометрии по кислороду. Моделирование рентгенодифракционных картин наноструктурированных перовскитов  $Sr(Fe,Co)O_{3-\delta}$  с кислородной стехиометрией, близкой к браунмиллеритной  $2.5 \sim (3 - \delta) < 2.7$ , проведено впервые. Структурные исследования сильно нестехиометрических ферритов/кобальтитов стронция с использованием комбинации экспериментальных методов и компьютерного моделирования необходимы, чтобы подтвердить наноструктурирование и приблизиться к пониманию кинетики кислородного транспорта в данных системах.

## ЭКСПЕРИМЕНТАЛЬНАЯ ЧАСТЬ

Исследуемые соединения  $(Sr_{1-y}(La, Ca)_y Co_{0.8-z} (Al, Nb)_z Fe_{0.2} O_{3-\delta}$  и  $SrFe_{1-z} Mo_z O_{3-\delta}$ ,  $0 \leq \delta \leq 0.5$ ) синтезированы стандартным керамическим способом. Для изменения кислородной стехиометрии использовали различную обработку образцов: 1) медленное охлаждение в печи; 2) дальнейший отжиг образцов при 900 °С в динамическом вакууме ( $P \sim 10^3$  Pa) и последующая закалка образцов до комнатной температуры; 3) отжиг образцов при 500 °С в атмосфере 5 %  $H_2 / Ar$  с последующим медленным остыванием в этой атмосфере. Содержание кислорода в образцах контролировалось методом йодометрического титрования (точность определения  $\pm 0.5\%$ ) и согласуется с результатами термогравиметрического метода.

Для дифракционных исследований использовалось синхротронное излучение (СИ) накопителя ВЭПП-3\*. Эксперименты проводились на двух экспериментальных станциях: 1) дифрактометрия с высоким разрешением и аномальное рассеяние на втором канале СИ ВЭПП-3 [14]; 2) дифрактометрия в жестком рентгеновском излучении 33.7 кэВ на четвертом канале СИ ВЭПП-3 [15, 16].

Эксперименты на втором канале проводились на длине волн 1.77 Å,  $\Delta E/E \sim 10^{-4}$ . Полученные картины дифракции порошкообразных образцов

\* Использовалось оборудование ЦКП СЦСТИ (Новосибирск).

## ТАБЛИЦА 1

Структурные параметры нестехиометрических перовскитов со сверхструктурными рефлексами (см. рис. 1)

Номер образца	Химический состав	Способ обработки	$2a_{\text{пп}}$ , Å
1	$\text{SrFe}_{0.95}\text{Mo}_{0.05}\text{O}_{2.66}$	Закаленный в вакууме	7.843
2	$\text{SrCo}_{0.8}\text{Fe}_{0.2}\text{O}_{2.64}$	Медленно охлажденный	7.728
3	$\text{Sr}_{0.7}\text{La}_{0.3}\text{Co}_{0.5}\text{Al}_{0.3}\text{Fe}_{0.2}\text{O}_{2.54}$	Закаленный в вакууме	7.794
4	$\text{Sr}_{0.7}\text{La}_{0.3}\text{Co}_{0.5}\text{Al}_{0.3}\text{Fe}_{0.2}\text{O}_{2.49}$	Отожженный в атмосфере 5 % $\text{H}_2/\text{Ar}$	7.814
5	$\text{SrCo}_{0.75}\text{Nb}_{0.05}\text{Fe}_{0.2}\text{O}_{2.45}$	Закаленный в вакууме	7.803
6	$\text{SrCo}_{0.7}\text{Nb}_{0.1}\text{Fe}_{0.2}\text{O}_{2.47}$	То же	7.818

позволяют с хорошей точностью обработать слабые сверхструктурные рефлексы и различить близкие по расположению рефлексы.

На экспериментальной станции на четвертом канале [15, 16] регистрация дифрагированного излучения проводилась с помощью двухкоординатного детектора MAR-345 фирмы Marresearch на базе Image Plate. Пространственное разрешение  $100 \times 100$  мкм, время экспозиции 5–10 мин (в зависимости от силы тока в накопительном кольце, которая изменялась в пределах 100–50 мА). Пучок синхротронного излучения имел длину волны  $\lambda = 0.369$  Å,  $\Delta E/E \sim 3 \cdot 10^{-3}$ , поперечный размер  $0.4 \times 0.4$  мм, с крайне малой расходимостью пучка: угловой разброс составляет  $(3 \cdot 10^{-3})^\circ$ .

2D-дифракционные картины обрабатывались с помощью программы Area Diffraction Machine интегрированием по всем углам для получения усредненной дифракционной картины  $I(2\theta)$  по регистрируемым телесным углам.

Индцирование методом подбора изоструктурного соединения и уточнение параметров элементарной ячейки методом наименьших квадратов проводили с использованием программ PowderCell (BAM Berlin). Дифракционные картины для моделей одномерно (1D) разупорядоченного кристалла рассчитывались с помощью программы [9, 10], написанной в Лаборатории структурных методов исследования Института катализа СО РАН (Новосибирск). Дифракционные картины для моделей нанодоменов рассчитывались по формуле Дебая.

## РЕЗУЛЬТАТЫ И ОБСУЖДЕНИЕ

В дифракционных экспериментах на СИ для целого ряда образцов с различным кати-

онным составом (табл. 1) и кислородной стехиометрией  $2.45 < (3 - \delta) < 2.66$  наблюдаются специфические дифракционные явления: на фоне узких рефлексов, индицируемых в кубической ячейке перовскита ( $\text{Pm}-3m$  (#221), параметр решетки элементарной ячейки  $a_{\text{пп}} \sim 3.9$  Å), возникают уширенные малоинтенсивные дополнительные пики (рис. 1).

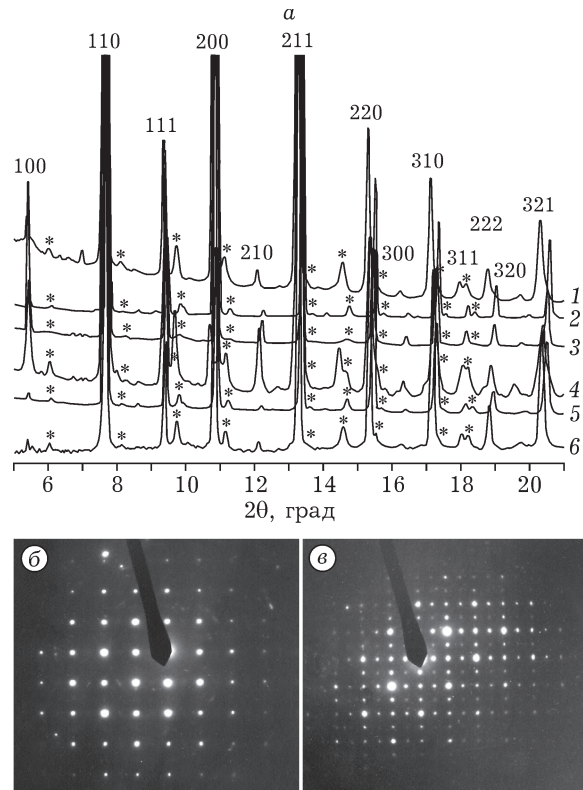


Рис. 1. *a* – Дифрактограммы образцов № 1–6 (см. табл. 1) нестехиометрических перовскитов со сверхструктурными рефлексами (\*),  $\lambda = 0.369$  Å (1–6); *b*, *c* – дифракция электронов на образцах состава  $\text{La}_{0.3}\text{Sr}_{0.7}\text{Co}_{0.5}\text{Fe}_{0.2}\text{Al}_{0.3}\text{O}_{3-\delta}$  с различной степенью нестехиометрии по кислороду:  $3 - \delta = 2.68$  (*b*),  $2.54$  (*c*).

Каждая рентгенограмма может быть проиндексирована в двойной кубической ячейке размерности  $a_{\text{пп}} \times 2a_{\text{пп}} \times a_{\text{пп}}$  (критерий Де Вольфа  $M_{39} = 22 > 10$ ). На электронной дифракции (см. рис. 1, б) также наблюдаются дополнительные размытые рефлексы, соответствующие удвоенной кубической ячейке.

Однородное упорядочение кислородных вакансий может происходить с образованием ряда стехиометрических фаз (браунмиллерита, Гринье и др.), при этом существует дискретный набор возможных стехиометрических фаз упорядочения дефектов и, соответственно, кислородной стехиометрии перовскита  $\text{ABO}_{3-\delta}$ , где  $2.5 \leq (3 - \delta) \leq 3$ .

Согласно данным просвечивающей электронной микроскопии (ПЭМ) исследуемых перовскитов, каждый элемент кристалла с доменной структурой содержит фазы, характерные для различных типов упорядочения вакансий (преимущественно структуры перовскита и браунмиллерита, реже двойного перовскита, фазы Гринье, Руддлесдена – Поппера и др.). Многообразие стехиометрических фаз и наличие в кристалле протяженных дефектов по типу плоскостей кристаллографического сдвига или антифазных границ объясняют тот факт, что значения кислородной стехиометрии для некоторых образцов (см. табл. 1) меньше по сравнению с таковыми для идеальной браунмиллеритной структуры  $\text{ABO}_{2.5}$ . Согласно данным ПЭМ и экспериментальных исследований из работ [17, 18], упорядочение вакансий обеспечивается преимущественно сосуществованием доменов перовскитной и браунмиллеритной структур. В этой связи при рассмотрении моделей упорядочения вакансий в кристаллах предпочтительны те из них, которые предполагают когерентное сочленение блоков именно таких составов.

Природа упорядочения кислородных вакансий исследована с привлечением методов компьютерного моделирования дифракционных картин. Нами рассмотрены возможности как однородного, так и неоднородного упорядочения с использованием различных моделей.

#### **Модель однородного упорядочения**

Данная модель образования сверхструктурь предполагает упорядочение вакансий в

ТАБЛИЦА 2

Координаты атомов в двойной кубической перовскитной ячейке  $a_{\text{пп}} \times 2a_{\text{пп}} \times a_{\text{пп}}$ . Группа симметрии  $Pmm$  (#47)

Атомы	Позиция	<i>x</i>	<i>y</i>	<i>z</i>
Sr	<i>2p</i>	0.50	0.25	0.50
Fe	<i>1a</i>	0	0	0
Fe	<i>1e</i>	0	0.50	0
O	<i>1b</i>	0.50	0	0
O	<i>1c</i>	0	0	0.5
O	<i>2m</i>	0	0.25	0
O	<i>1f</i>	0.50	0.50	0
O*	<i>1g</i>	0	0.50	0.50

\* Координаты кислородных вакансий.

двойной кубической ячейке. Нами выбрана ячейка  $a_{\text{пп}} \times 2a_{\text{пп}} \times a_{\text{пп}}$ , состоящая из двух перовскитных ячеек, в каждой из которых координаты атомов соответствовали группе симметрии  $Pm-3m$  (#221),  $2a_{\text{пп}} \sim 7.8 \text{ \AA}$ .

Найдена такая сверхячейка с параметрами  $2a = b = c = 2a_{\text{пп}}$  (табл. 2), чтобы положение всех рефлексов с высокой точностью соответствовало дифракционной картине (рис. 2, а) (ромбическая группа симметрии  $Pmm$  (#47), критерий Де Вольфа  $M_{22} = 38 > 10$ ). В этом случае сверхячейка рассматривается нами исключительно как элемент гетерогенной системы: стехиометрический состав такой фазы  $\text{ABO}_{2.5}$  соответствует браунмиллеритной, но кислородный состав соединений, демонстрирующих на дифрактограмме сверхструктуру, варьирует в пределах  $2.45 < (3 - \delta) < 2.66$ . По данным ПЭМ [17, 18] и результатам мессбауэровской спектроскопии, очевидно преобладание браунмиллеритных компонентов гетерогенной системы  $\text{ABO}_3 + \text{ABO}_{2.5}$ . В связи с этим данная модель упорядочения вакансий, по нашему мнению, маловероятна по сравнению с неоднородным упорядочением при участии доменов браунмиллеритной структуры.

#### **Модель неоднородного упорядочения**

**Вдоль одного направления кристалла.** Согласно данным ПЭМ, данная модель предполагает чередование когерентно сращенных пластинчатых компонентов со структурой пе-

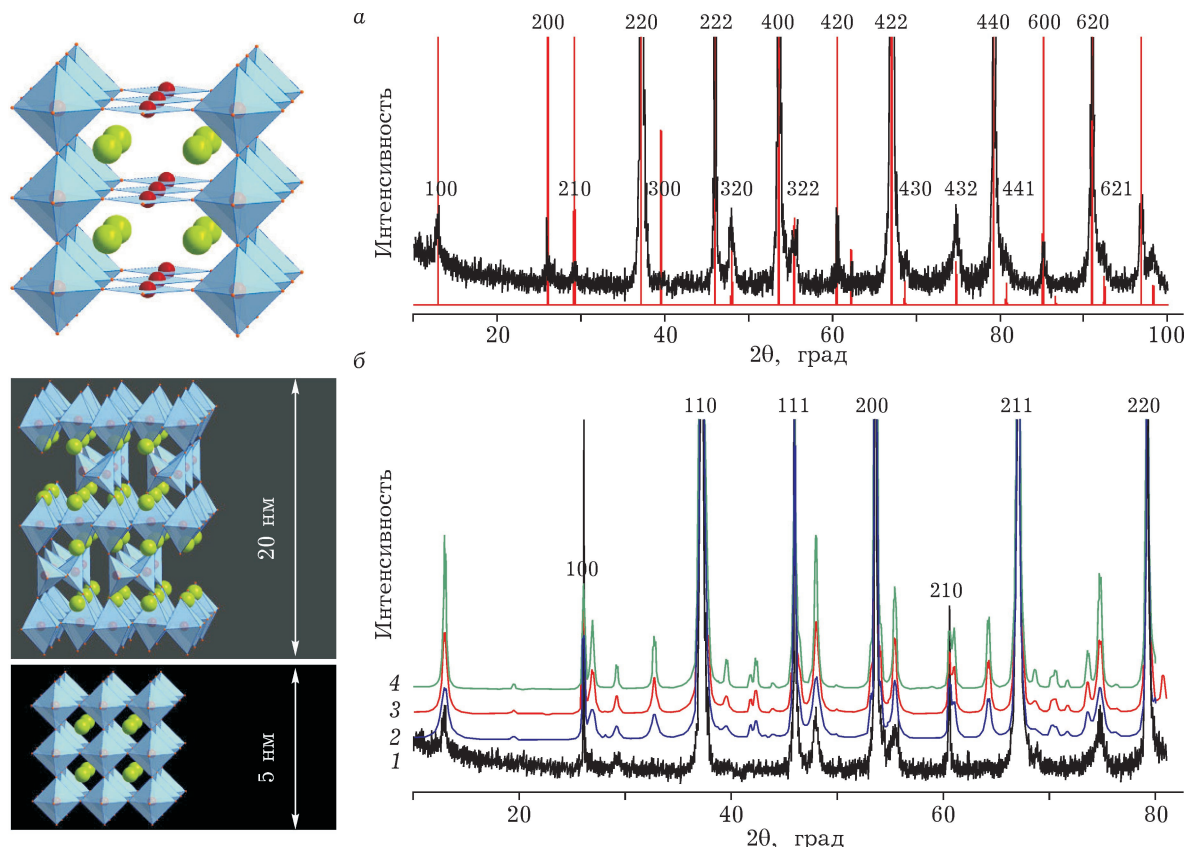


Рис. 2. Модели однородного упорядочения вакансий (а) и неоднородного упорядочения структур перовскита и браунмиллерита  $\text{ABO}_3 + \text{ABO}_{2.5}$  вдоль одного направления кристалла (б): 1 – экспериментальная дифрактограмма образца  $\text{SrFe}_{0.95}\text{Mo}_{0.05}\text{O}_{2.66}$ , закаленного в вакууме; 2–4 – вероятность группировки ячеек ( $\text{ABO}_{2.5}$ ):  $P_{22} = 0.7$  (2), 0.8 (3), 0.9 (4);  $\lambda = 1.77 \text{ \AA}$ ; линии красного цвета (а) – расчетное положение дифракционных максимумов.

ровскита и браунмиллерита. Структура перовскита может быть представлена как последовательность слоев октаэдров (O), а структура браунмиллерита как чередование слоев октаэдров и тетраэдров (OTOT'). В общем случае нарушение порядка в одном направлении приводит к появлению диффузного рассеяния. Посредством моделирования дифракционных картин мы показали, что диффузное рассеяние сосредоточено именно в области сверхструктурных пиков (см. рис. 2, б). В моделировании для сращивания фаз применена пространственно повернутая (построенная на диагоналях) ячейка перовскитной структуры ( $a = a_{\text{n}} 2^{1/2}$ ;  $b = a_{\text{n}}$ ;  $c = a_{\text{n}} 2^{1/2}$ ) и деформированная по осям  $a$  и  $c$  ячейка браунмиллеритной ( $a = a_{\text{n}} 2^{1/2}$ ;  $b = b_6$ ;  $c = a_{\text{n}} 2^{1/2}$ ). С учетом кислородной нестехиометрии  $\text{ABO}_{2.6}$  соотношение фаз со структурами браунмиллерита и перовскита должно быть равным 4 : 1. Таким образом, усредненная толщина

пласта со структурой браунмиллерита должна быть в четыре раза больше средней толщины пласта со структурой перовскита. Следовательно, на каждый слой типа O должен приходиться один слой типа OTOT', так как второй слой примерно в четыре раза толще первого. Определив вероятность появления слоя OTOT' как  $W_2 = 0.5$ , мы задаем необходимое по стехиометрии соотношение толщин пластинчатых компонентов. Абсолютные значения толщины пластов определяются вероятностным параметром группирования браунмиллеритоподобных слоев  $P_{22}$  (условная вероятность следования слоя типа OTOT' за слоем OTOT'). Чем больше параметр  $P_{22}$ , тем большая толщина пластов со структурой браунмиллерита и перовскита.

Рассчитанные дифракционные картины хорошо описывают положения как основных, так и дополнительных пиков. Средний размер ОКР (модельных частиц), рассчитанный из

ширины узких основных пиков, приблизительно равен 75 нм. Толщина пластов (варьирование параметра  $P_{22}$ ) влияет на интенсивность дополнительных пиков. Экспериментальные и расчетные данные максимально соглашаются между собой в случае модели, для которой средняя толщина пластов со структурой перовскита и браунмиллерита составляет 5 и 20 нм соответственно. Согласно данной модели, имеющиеся дифракционные эффекты могут быть связаны сnanoструктурированием по типу когерентного сочленения двух упорядоченных фаз. Более того, вакансационно-упорядоченная идеальная структура  $\text{ABO}_3 - \delta$  должна иметь следующий состав по кислороду:  $(3 - \delta) = 2.5$  (ОТОТ'), 2.67 (OOT), 2.75(ОП, ООТ), 2.8 (ОООТ), 2.83 (ООП, ООООТ); ... 3(О) (где О – октаэдры, Т – тетраэдры, П – пентаэдры). Видно, что кислорододефицитные составы  $\sim \text{ABO}_{2.6}$  не попадают ни в одну стехиометрическую фазу, а это указывает на гетерогенное состояние структуры, сложенной двумя типами доменов сте-

хиометрических фаз. Таким образом, структура данных нестехиометрических перовскитоподобных материалов может быть представлена браунмиллеритной системой, переложенной перовскитными фрагментами, где накапливается весь сверхстехиометрический кислород ( $0.5 - \delta$ ) и, возможно, высокозаряженные катионы.

**По всему объему кристалла (нанодоменная система).** Выбрана такая модель, в которой деформированные браунмиллеритные ( $a_{\text{б}/\text{м}} = c_{\text{б}/\text{м}} = 2^{2/1}a_{\text{п}}; b_{\text{б}/\text{м}} = 4a_{\text{п}}$ ) блоки размером  $8 \times 16 \times 8$  нм и  $5 \times 5 \times 5$  нм (рис. 3, а и б соответственно) имеют три равнозначных взаимно перпендикулярных ориентации, когерентно сращены между собой и с учетом стехиометрии по кислороду перемежаются перовскитными блоками соответствующих размеров. Для моделирования использовались программы для расчета дифракционных картин от структурированной частицы по формуле Дебая. Рассмотрены несколько различных вариантов сстыковки блоков. В одном варианте

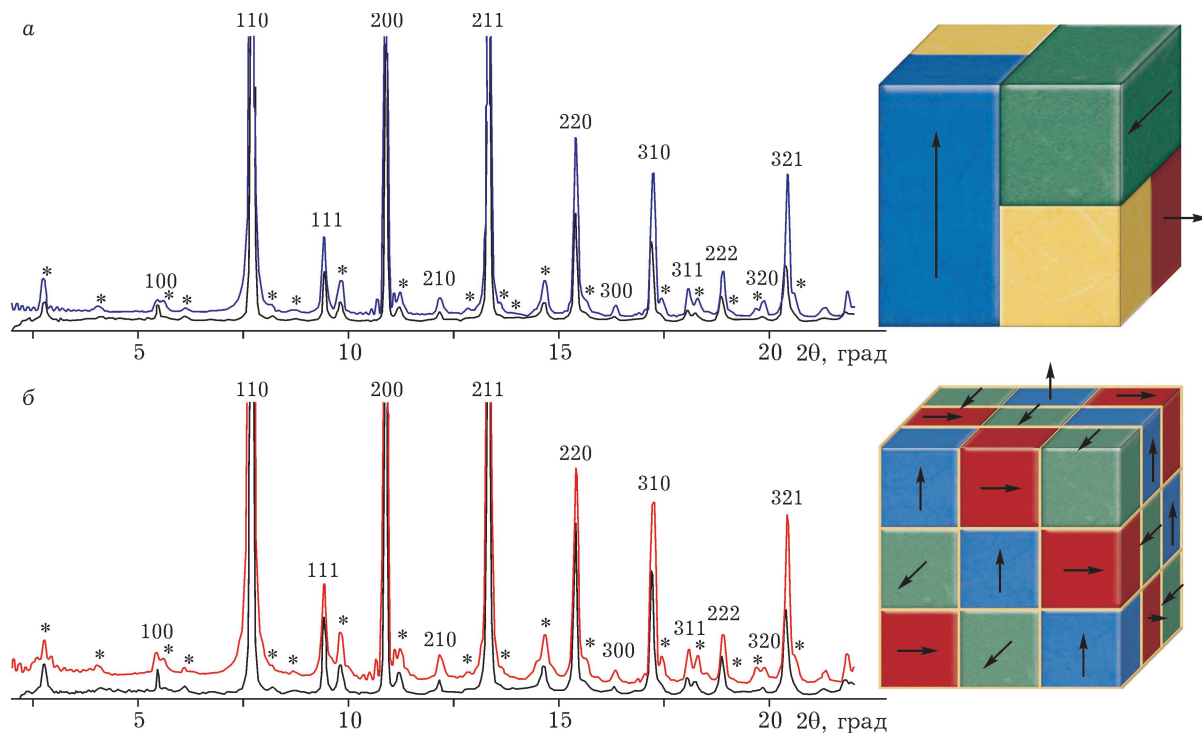


Рис. 3. Моделирование нанодоменной системы и расчет рентгенограмм по формуле Дебая для состава  $\text{SrFe}_{0.95}\text{Mo}_{0.05}\text{O}_{2.66}$  (черные линии – экспериментальные рентгенограммы, красные и синие – расчетные; области желтого цвета – перовскитная структура, области красного, синего и зеленого цветов – браунмиллеритная структура): а – частица размером около 15.5 нм состоит из пяти блоков: трех ортогональных браунмиллеритных и двух перовскитных; б – частица размером около 15 нм состоит из 27 браунмиллеритных блоков трех ортогональных типов с перовскитной прослойкой между ними,  $\lambda = 0.369$  Å; стрелками показаны направления оси  $b$  структуры доменов низкосимметричной фазы.

размер частицы составляет  $40 \times 40 \times 40a_{\text{п}}^3$  ( $\sim 15.5$  нм в сечении), размер браунмиллеритных блоков —  $40 \times 20 \times 20a_{\text{п}}^3$ , перовскитных —  $20 \times 20 \times 20a_{\text{п}}^3$ , блоки состыкованы друг с другом без прослоек (двойники) (см. рис. 3, а). Другой вариант предполагает наличие частицы размером  $39 \times 39 \times 39a_{\text{п}}^3$  ( $\sim 15$  нм в сечении, см. рис. 3, б), состоящей из 27 браунмиллеритных доменов ( $12 \times 12 \times 12a_{\text{п}}^3$ ) трех различных ориентаций, переложенных перовскитными проплойками толщиной  $a_{\text{п}}$ .

На дифрактограммах наблюдается специфический тип дифракционных явлений: высокая симметрия перовскитной матрицы частично сохраняется таким образом, что суперпозиция нанодоменов приводит к возникновению рентгенограммы с кажущейся “кубической” структурой перовскита и дополнительными сверхструктурными рефлексами. При этом внутри доменов наблюдается локальный порядок в ближнем окружении, а точечные дефекты — атомы сверхстехиометрического кислорода  $x$  ( $\text{ABO}_{2.5+x}$ ) — вытесняются на границы доменов.

Таким образом, весь избыток кислорода вытесняется в доменные стенки. Относительная плотность доменных стенок в объеме кристалла задана значением сверхстехиометрии по кислороду ( $x = 0.5 - \delta$ ) и зависит от размера доменов со структурой браунмиллерита, поскольку пропорциональна суммарной площади поверхности доменов в кристалле. Из данных рис. 1 видно, что рентгенограммы образцов, одинаковых по катионному составу, но различных по степени кислородной нестехиометрии (кривые 3, 4), различаются по интенсивности дополнительных дифракционных максимумов: с уменьшением сверхстехиометрии ( $0.5 - \delta$ ) интенсивность дополнительных рефлексов увеличивается. При расчете интенсивности рассеяния по формуле Дебая для частиц одинакового диаметра, но с различным размером доменов обнаружено, что с увеличением размера доменов дополнительные рефлексы становятся более интенсивными, при этом их ширина не изменяется. Следовательно, отличия в интенсивности дополнительных максимумов для кривых 3 и 4 (см. рис. 1) отражают различия не только по кислородной стехиометрии, но и по размеру доменов в кристаллах.

В пользу модели микродвойникования указывает и возникновение парных колец на 2D-дифракционной картине от браунмиллеритных ( $\text{Sr}_{0.7}\text{Ca}_{0.3}\text{Co}_{0.5}\text{Al}_{0.3}\text{Fe}_{0.2}\text{O}_{2.5}$  и  $\text{Sr}_{0.5}\text{Ca}_{0.5}\text{Co}_{0.5}\text{Al}_{0.3}\text{Fe}_{0.2}\text{O}_{2.5}$ ) образцов: распределение пятен (текстура) от отдельных кристаллитов по периметру одного кольца повторяется на соседнем [13]. Данний эффект наблюдается только для рефлексов, принадлежащих кубической сингонии до понижения симметрии, а после претерпевших ромбические расщепления (рис. 4). В общем случае текстурные максимумы от различных

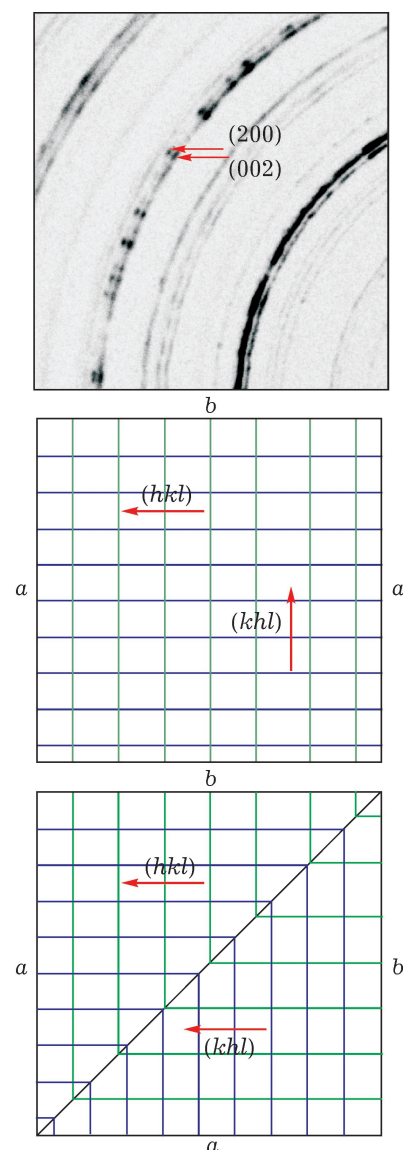


Рис. 4. Фрагмент 2D-дифракционной картины браунмиллеритного состава  $\text{Sr}_{0.7}\text{Ca}_{0.3}\text{Co}_{0.5}\text{Fe}_{0.2}\text{Al}_{0.3}\text{O}_{2.5}$ ,  $\lambda = 0.369 \text{ \AA}$ . Схема возникновения двойных рефлексов в результате двойникования в структуре.

плоскостей ( $(hkl)$ ,  $(lkh)$ ,  $(khl)$  и т. д.) должны лежать на 2D-дифракционной картине в различных азимутальных направлениях, определяемых геометрией кристаллической решетки. Как следствие, соседние парные пятна не могут принадлежать одному кристаллиту, поэтому наблюдаемый эффект обусловлен ориентацией блоков друг относительно друга.

Согласно принципу Кюри, в случае иска-  
жений, вызванных температурными воздей-  
ствиями, образующиеся домены ориенти-  
руются таким образом, чтобы усредненно по  
многим доменам сохранилась исходная сим-  
метрия. В нашем случае понижения симмет-  
рии от кубической к ромбической при усред-  
нении по всем доменам должна восстановить-  
сь ось 3-го порядка [19]. Для достижения этого  
двойникование должно произойти в трех вза-  
имно перпендикулярных направлениях.  
В результате обратное пространство локаль-  
ного множества доменов, претерпевших двой-  
никование, будет представлять суперпозицию  
шести обратных пространств взаимно перпен-  
дикулярных двойников, так как при фазовом  
переходе ориентация блока возникает по  
любому из начальных направлений ( $a$ ,  $b$  и  $c$ ).  
Другими словами, появляется пара или более  
блоков, которые, деформируясь в перпенди-  
кулярных направлениях, унаследовали изна-  
чальную кубическую ориентацию. Таким обра-  
зом, макроскопически (для группы доменов)  
восстановлены те элементы симметрии, кото-  
рые исчезли при фазовом переходе в низко-  
симметричную фазу. Следовательно, максимум  
на одном кольце образует пару с максимумом  
на соседнем кольце, возникшим от соседних  
блоков, перпендикулярно ориентированных.

В случае идеального кристалла два диф-  
ракционных максимума от одного кристалли-  
та с различными межплоскостными расстоя-  
ниями  $d_1$  и  $d_2$  могут одновременно выйти в  
отражающее положение только при условии,  
что относительный разброс по углам  
 $\Delta\theta_S = 2\tg \theta(\Delta E/E)$  спектральной ширины рент-  
геновского излучения  $\Delta E/E$  превышает угло-  
вое расстояние между рефлексами  
 $\Delta\theta_R = 2(\arcsin(\lambda/2d_1) - \arcsin(\lambda/2d_2))$ . В эксперименте (см. рис. 4) для двойных рефлек-  
сов  $\Delta\theta_S \sim 0.06^\circ < \Delta\theta_R \sim 0.2^\circ$ , следовательно,  
доменная структура кристалла значительно  
неидеальна. Неидеальность структуры прояв-

ляется в возникновении малоугловых границ  
между микродоменами из-за несоответствия  
атомных рядов на границах доменов. Степень  
отклонения от идеального состояния кристал-  
ла и величину малоугловых границ можно  
оценить из азимутальной ширины дифракци-  
онных максимумов на 2D-дифракционной кар-  
тине (см. рис. 4)  $\Delta\theta_A \sim 4^\circ$ , что превышает ве-  
личины  $\Delta\theta_S$  и  $\Delta\theta_R$ . Таким образом, при на-  
следовании ориентации высокосимметрийной  
фазы блоки со структурой браунмиллерита  
создали мозаичную морфологию микродоменов  
в кристалле, аналогичную нанодоменно-  
му состоянию (см. рис. 3).

В зависимости от размера двойников наблю-  
даются различные дифракционные эффекты:  
наnanoуровне – дифрактограмма с узкими  
интенсивными перовскитными и уширенными  
слабыми дополнительными рефлексами; на  
микроуровне образуются парные текстурные  
максимумы на дифракционных кольцах.

## ЗАКЛЮЧЕНИЕ

Методом рентгеновской дифракции иссле-  
дованы сильно нестехиометрические перовс-  
китоподобные оксиды на основе ферритов/  
кобальтитов стронция. Для ряда образцов с  
различным катионным составом и степенью  
нестехиометрии  $2.5 < (3 - \delta) < 2.7$  наблюдаются  
эффекты наноструктурирования, прояв-  
ляющиеся в виде слабых широких дополнительных  
пиков на фоне интенсивных пиков,  
характерных для структурного типа перовс-  
кита. С использованием методов компьютер-  
ного моделирования дифракции на кристал-  
лах с дефектами рассмотрены различные мо-  
дели упорядочения кислородных вакансий: од-  
нородное упорядочение в виде отдельной  
фазы, где кислородные вакансии являются  
элементом структуры, и неоднородное упо-  
рядочение в виде когерентного сосущество-  
вания двух крайних состояний твердого рас-  
твора  $\text{ABO}_3 + \text{ABO}_{2.5}$  – перовскитной и бра-  
унмиллеритной структуры соответственно. Для  
неоднородного упорядочения рассмотрены три  
типа структур: одномерно разупорядоченных  
компонентов, двойников и трехмерно упоря-  
доченных доменов. Показано, что в исследуемых  
сильно нестехиометрических перовскито-

подобных системах кислородные вакансии упорядочиваются путем образования структуры браунмиллеритных нанодоменов, повернутых друг относительно друга на  $90^\circ$  с распределением перовскитной компоненты на границах между доменами. Показано, что такая текстура наблюдается не только наnanoуровне, но и в случае образцов с микродоменами.

Работа выполнена при финансовой поддержке Минобрнауки России.

Авторы выражают благодарность А. П. Немудрому за обсуждение полученных результатов.

## СПИСОК ЛИТЕРАТУРЫ

- 1 Ария С. М., Попов Ю. Г. // Журн. общ. химии. 1962. Т. 32. С. 2077.
- 2 Вест А. Химия твердого тела. Теория и приложения. М.: Мир, 1988.
- 3 Anderson J. S. Problems of Nonstoichiometry. Amsterdam: North-Holland, 1970.
- 4 Hodges J. P., Short S., Jorgensen J. D., Xiong X., Dabrowski B., Mini S. M., Kimball C. W. // J. Solid State Chem. 2000. Vol. 151, Issue 2. P. 190–209.
- 5 Bouwmeester H. J. M., Burggraaf A. J. // Fundamentals of Inorganic Membrane Science and Technology / A. J. Burggraaf and L. Cot (Eds.). Amsterdam: Elsevier, 1996. P. 435–528.
- 6 Salje E. K. H., Hayward S. A., Lee W. T. // Foundations of Crystallography. 2005. Vol. 61, No. 1. P. 3.
- 7 Cherepanova S. V., Tsybulya S. V. // Zeitschrift für Kristallographie. 2008. Vol. 27, No. 1. P. 5.
- 8 Надеев А. Н., Цыбуля С. В., Герасимов Е. Ю., Куликова Н.А., Исупова Л.А. // Журн. структ. химии. 2010. Т. 51, № 5. С. 927–933.
- 9 Cherepanova S. V., Tsybulya S. V. // J. Mol. Catal. A: Chem. 2000. Vol. 158, No. 1. P. 263.
- 10 Черепанова С. В. Моделирование структуры частично разупорядоченных ультрадисперсных материалов на основе полнопрофильного анализа порошковых дифракционных картин: Дис. ... канд. физ.-мат. наук. Новосибирск, 2000.
- 11 Proffen T., Neder R. B. // J. Appl. Cryst. 1997. Vol. 30. P. 171.
- 12 Neder R. B., Proffen T. Diffuse Scattering and Defect Structure Simulations. Oxford: University Press, 2008.
- 13 Ancharova U. V., Ancharov A. I., Lyakhov N. Z., Nemudry A. P., Pyatiletova E. B., Savinskaya O. A., Tsybulya S. V. // Nuclear Instruments and Methods in Physics Research. Section A: Accelerators, Spectrometers, Detectors and Associated Equipment. 2007. Vol. 575, Issue 1–2. P. 144–148.
- 14 Электронный ресурс: Шмаков А. Н. <http://ssrc.inp.nsk.su/CKP/stations/passport/2/>
- 15 Электронный ресурс: Анчаров А. И. <http://ssrc.inp.nsk.su/CKP/stations/passport/4/>
- 16 Ancharov A. I., Manakov A. Yu., Mezentsev N. A., Tolochko B. P., Sheromov M. A., Tsukanov V. M. // Nuclear Instruments and Methods in Physics Research. Section A: Accelerators, Spectrometers, Detectors and Associated Equipment. 2001. Vol. 470, Issues 1–2. P. 80–83.
- 17 Nakayama N., Takano M., Inamura S., Nakanishi N., Kosuge K. // J. Solid State Chem. 1987. Vol. 71, Issue 2. P. 403–417.
- 18 Alario-Franco M. A., Gonzalez-Calbet J. M., Vallet-Regi M., Grenier J. C. // J. Solid State Chem. 1983. Vol. 49, Issue 2. P. 219–231.
- 19 Кюри П. Симметрия в физических явлениях // Избр. труды. М.: Наука, 1966.